



Липецкий государственный технический университет

Кафедра химической технологии, экологии и литья

## Лекция 4

по дисциплине

**Техническая термодинамика**  
*(для студентов специальности ХТ)*

# ТЕРМОДИНАМИЧЕСКИЕ СВОЙСТВА ВОДЫ И ВОДЯНОГО ПАРА

Составитель: к.т.н., доц. Андриянцева С.А.

Липецк 2014

# **Фазовые состояния и превращения воды**

## ***Вода в равновесном состоянии***

*(без энергетических взаимодействий с окружающей средой )*

У поверхности льда или жидкости всегда присутствует пар. Соприкасающиеся фазы находятся в т/д равновесии: быстрые молекулы вылетают из жидкой фазы, преодолевая поверхностные силы, а из паровой фазы медленные молекулы переходят в жидкую фазу.

В состоянии равновесия каждой Т соответствует определенное **давление пара – полное** (если над жидкостью присутствует только пар) или **парциальное** (если присутствует смесь пара с воздухом или другими газами).

*Пар, находящийся в равновесном состоянии с ж. фазой, из которой он образовался - насыщенный, а соответствующая ему Т - Т насыщения, а давление – р насыщения.*

# **Фазовые состояния и превращения воды**

## **Вода в неравновесном состоянии**

*(с энергетическими взаимодействиями с окружающей средой )*

*Процесс некомпенсированного перехода вещества из ЖФ в Г - испарение.*

*Процесс некомпенсированного перехода вещества из ТФ в Г - сублимация (возгонка).*

*Процесс перехода вещества из жидкой фазы в паровую непосредственно внутри жидкости - кипение.*

*Любой процесс перехода вещества из жидкой фазы в паровую - парообразование.*

*Процесс, противоположный парообразованию, т.е. некомпенсированный переход вещества из паровой фазы в жидкую - конденсация.*

*Процесс, противоположный сублимации, т.е. переход вещества из паровой фазы непосредственно в твердую - десублимация.*

*Жидкая фаза воды при температуре кипения - насыщенная жидкость.*

*Пар при температуре кипения (насыщения) - сухой насыщенный пар.*

*Двухфазная смесь "ж+п" в состоянии насыщения - влажный насыщенный пар.*

Для характеристики влажного насыщенного пара используется понятие **степени сухости x**, представляющее собой отношение массы сухого насыщенного пара,  $m_{\text{с.н.п.}}$ , к общей массе смеси,  $m_{\text{см}} = m_{\text{с.н.п.}} + m_{\text{ж.с.н.}}$ , его с жидкостью в состоянии насыщения:

$$x = \frac{m_{\text{с.н.п.}}}{m_{\text{с.н.п.}} + m_{\text{ж.с.н.}}} = \frac{m_{\text{с.н.п.}}}{m_{\text{см}}}$$

Отношение массы жидкой фазы воды в состоянии насыщения к массе смеси называется **степень влажности (1-x)**:

$$1 - x = \frac{m_{\text{ж.с.н.}}}{m_{\text{с.н.п.}} + m_{\text{ж.с.н.}}} = \frac{m_{\text{ж.с.н.}}}{m_{\text{см}}}$$

Пар с температурой выше температуры насыщения при данном давлении называется **перегретым паром**. Разность температур перегретого пара  $t$  и насыщенного пара того же давления  $t_{\text{н}}$  называется **степенью перегрева пара**  $\Delta t_{\text{п}} = t - t_{\text{н}}$ .

# Фазовые диаграммы P,t-, P,v- и T,s для $\text{H}_2\text{O}$

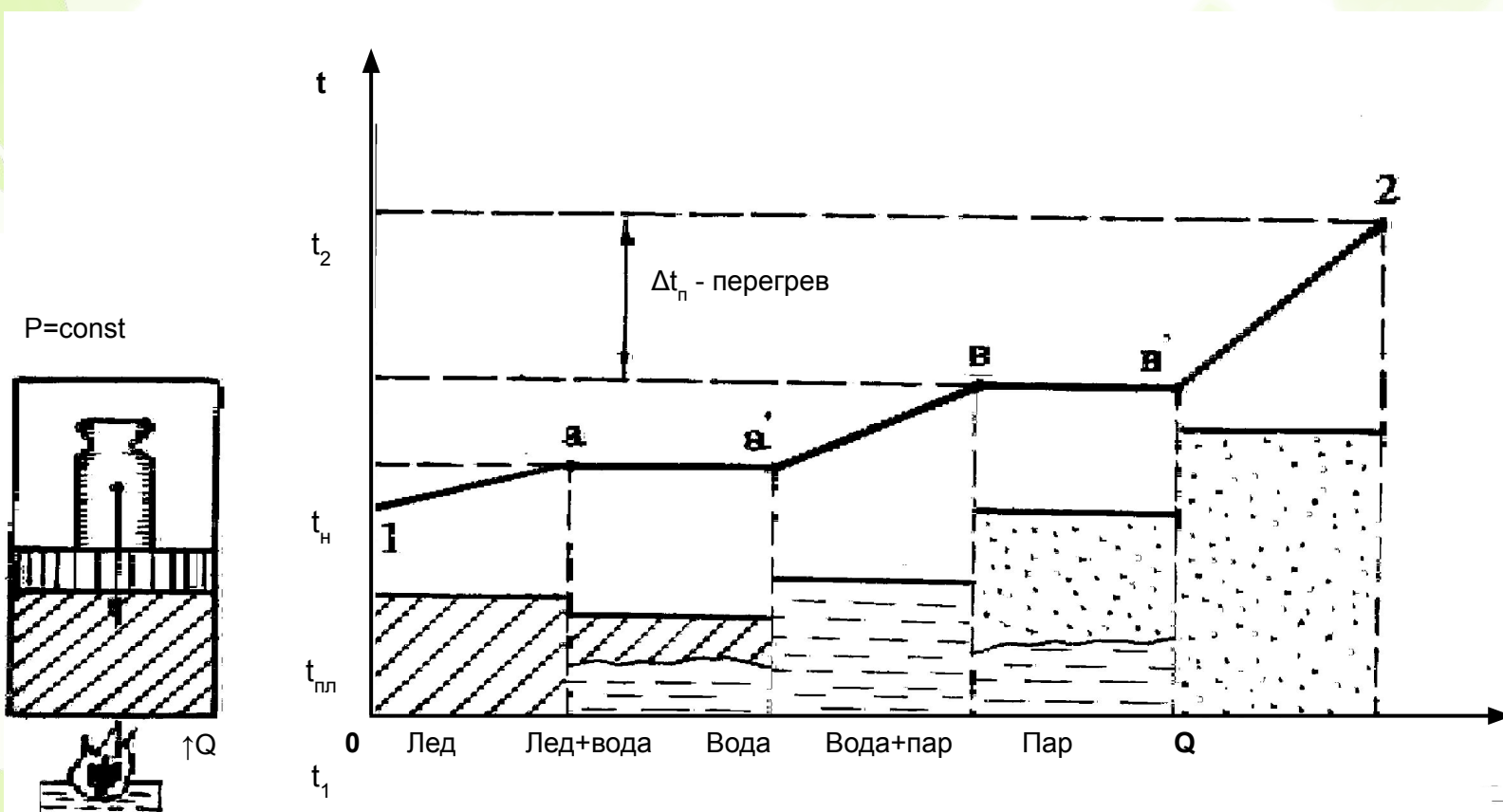


Рис. 1. Изменение температуры при изобарном подводе теплоты к  $\text{H}_2\text{O}$

# Фазовые диаграммы Р,т-, Р,в- и Т,с для $\text{H}_2\text{O}$

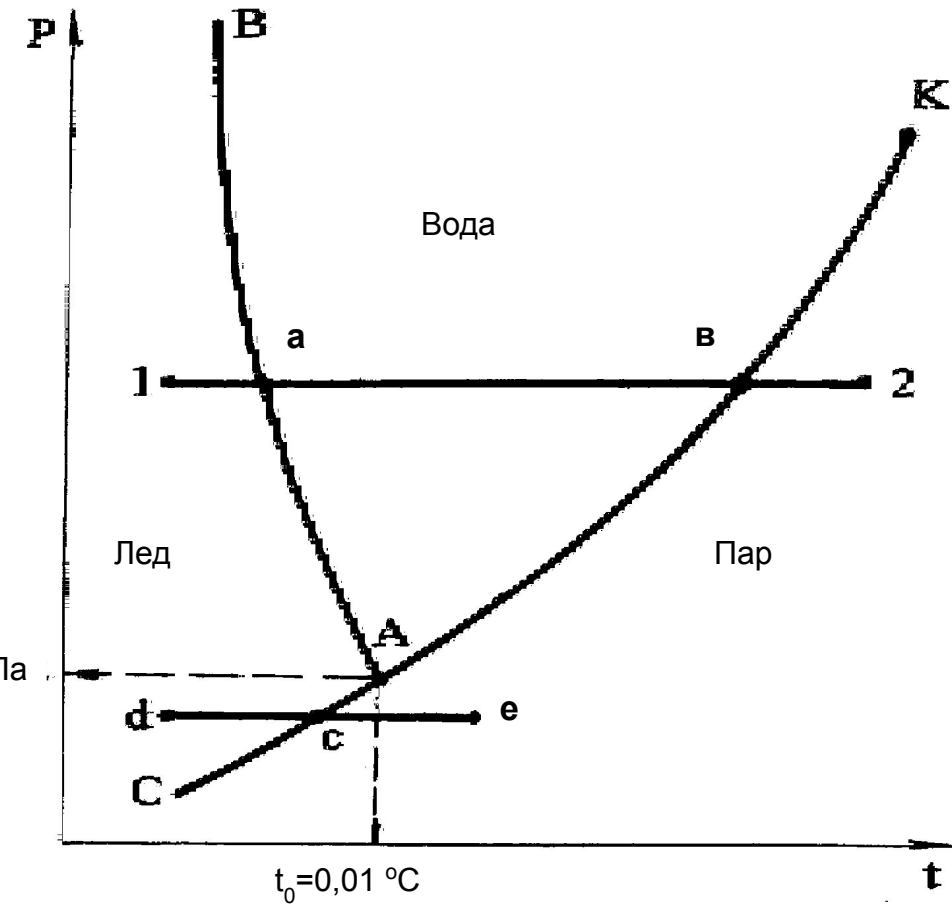
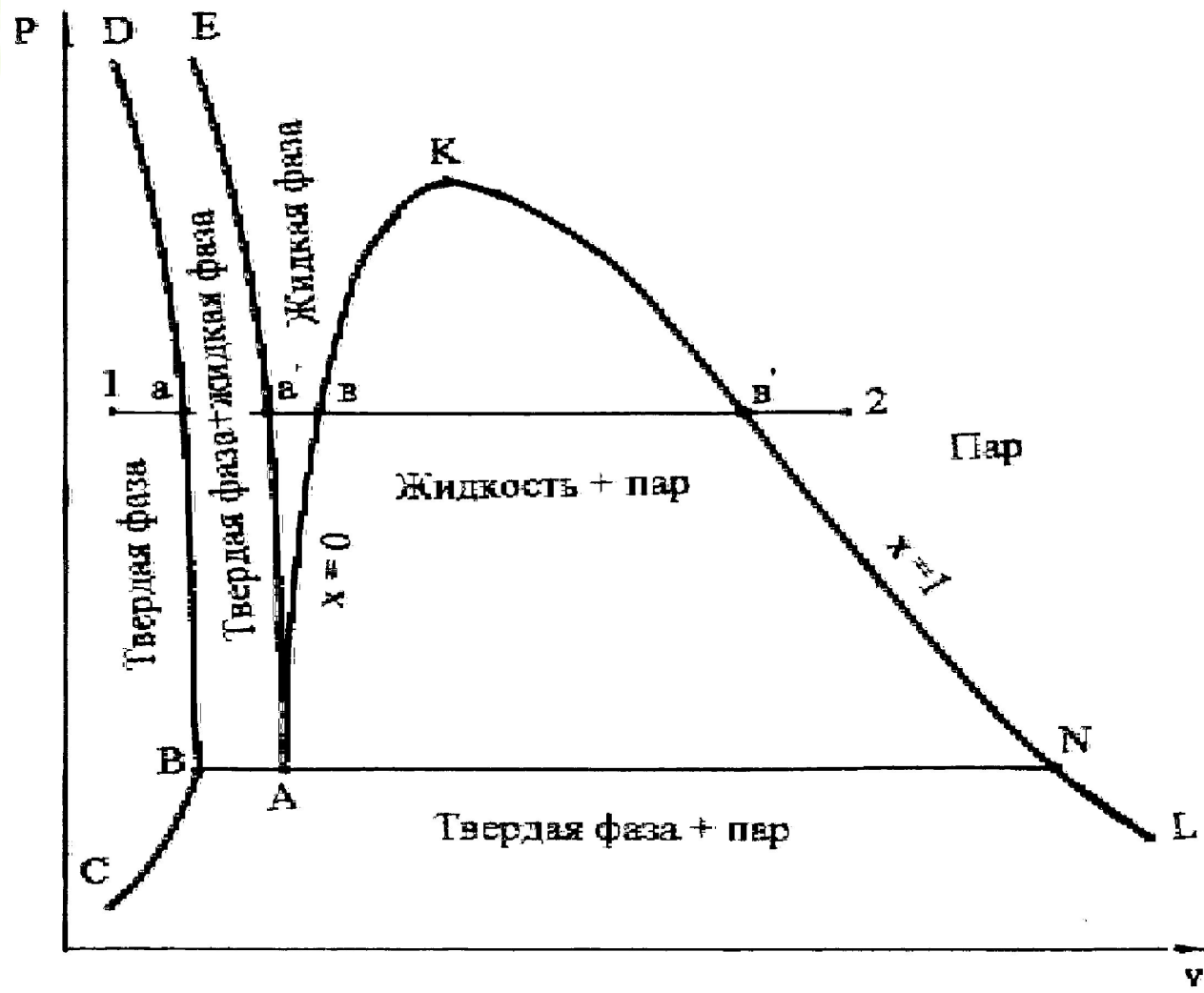


Рис. 2. Фазовая диаграмма Р,т для воды

# Фазовые диаграммы Р,t-, Р,v- и T,s для $\text{H}_2\text{O}$



# Фазовые диаграммы Р,т-, Р,в- и Т,с для $\text{H}_2\text{O}$

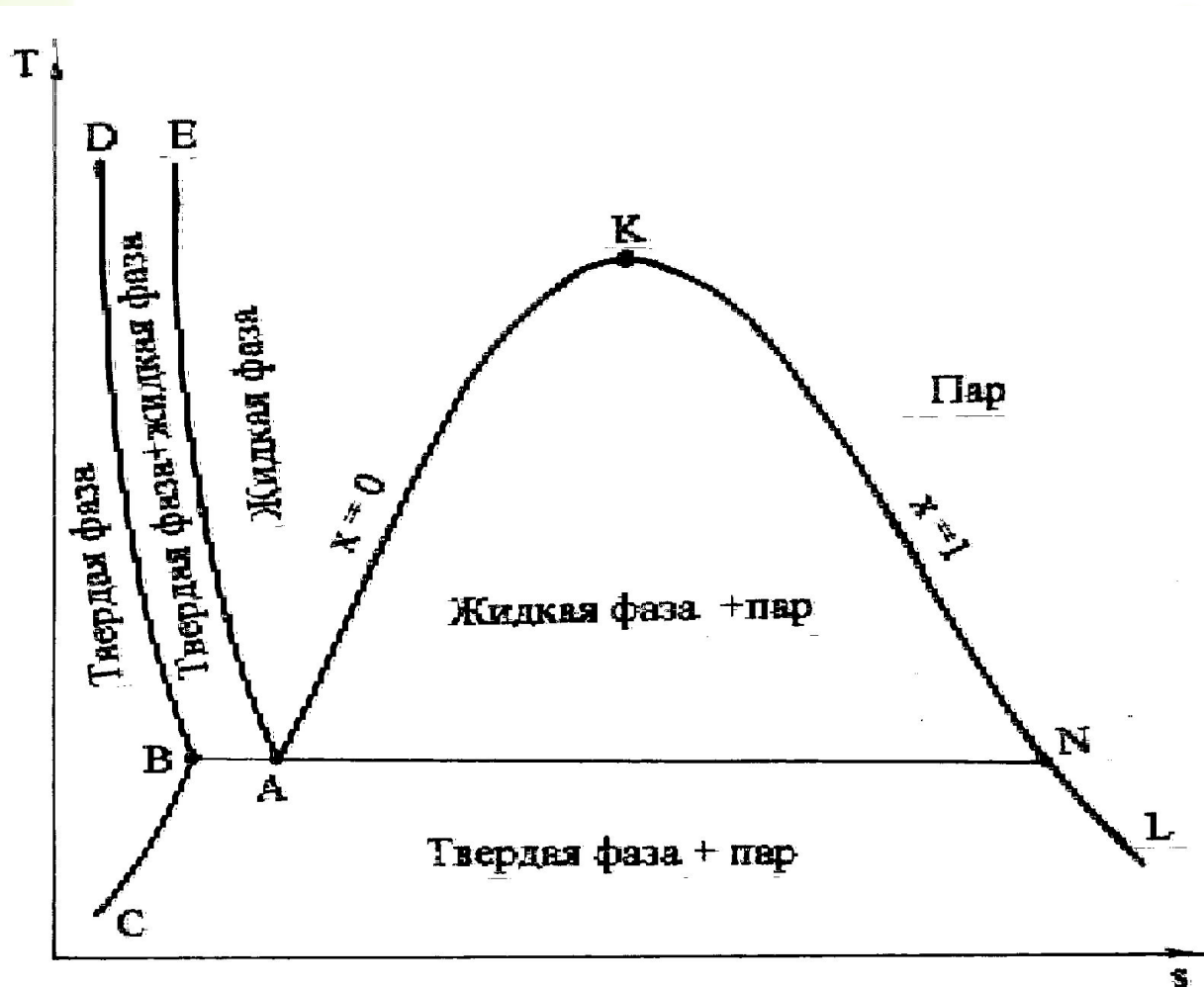
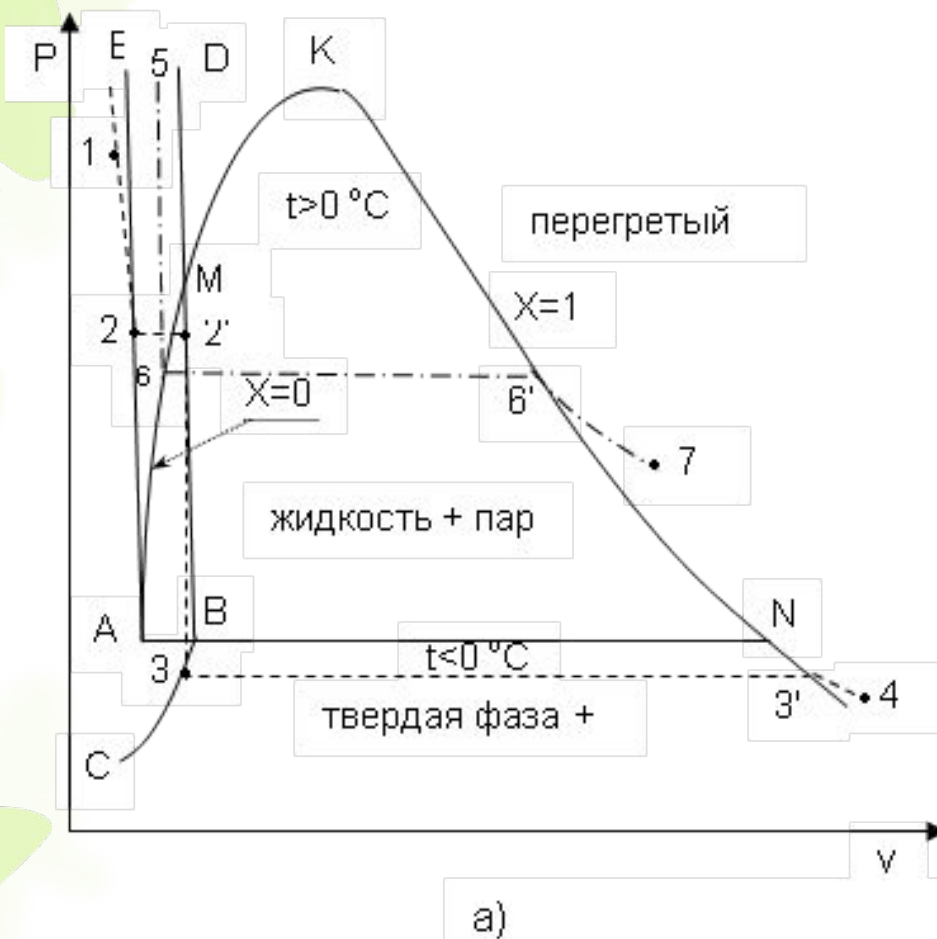
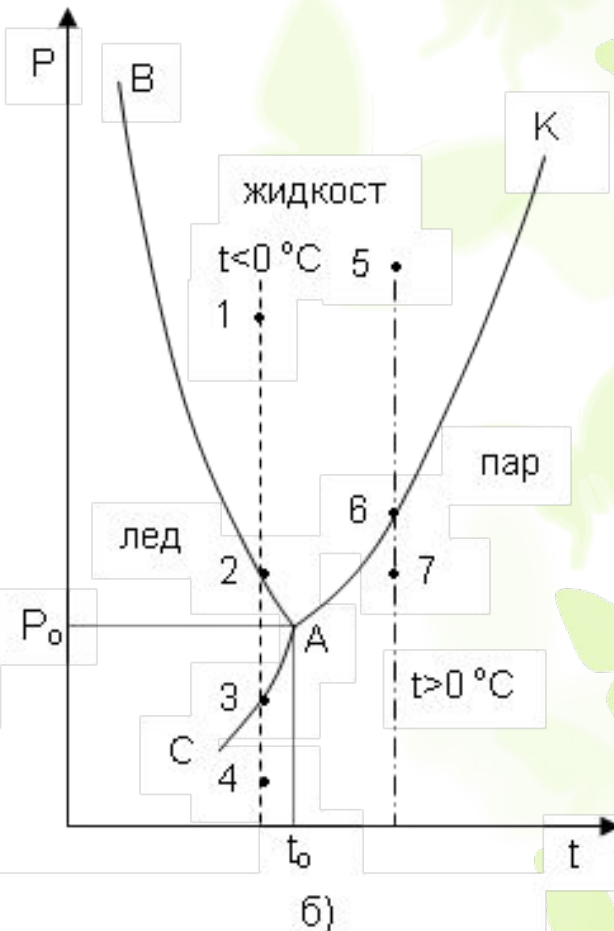


Рис. 4 Фазовая диаграмма Т,с для нормального вещества

# Фазовые диаграммы P,t-, P,v- и T,s для $\text{H}_2\text{O}$



a)



b)

Рис. 5. Фазовые состояния для воды: а – в диаграмме P,v,

# Жидкость на линии фазового перехода

Энтропия жидкости на линии насыщения  $x = 0$  определяется исходя из ее равенства нулю в тройной точке воды ( $s'_o=0$ ). С изменением давления энтропия Ж при  $T$  тройной точки (или  $0\text{ }^{\circ}\text{C}$ )  $s_o$  изменяется незначительное Поскольку энтропия, является функцией двух независимых параметров состояния, а при  $t=0\text{ }^{\circ}\text{C}$  для всех давлений жидкости внутренняя энергия  $\mathcal{J}=0$ , то и энтропия жидкости при  $t=0\text{ }^{\circ}\text{C}$  для всех давлений будет постоянной и равной энтропии жидкости в тройной точке воды, т.е.  $s_o=0$ .

Зная значение энтропии  $s_o$  при  $t=0\text{ }^{\circ}\text{C}$  и заданном давлении, энтропию жидкости на линии насыщения при  $T_h$  можно определить как

$$s' = s_o + \int_{T_0}^{T_h} \frac{c_p dT}{T} \approx c_p \ln \frac{T_h}{273,16}$$

где  $s_o = s'_o = 0$  – при давлениях, используемых в технике;  $c_p \cong 4,187\text{ кДж/(кг}\cdot\text{К)}$  – при умеренных давлениях.

Определение энтальпии, энтропии и внутренней энергии жидкости при температурах меньших, чем температура насыщения при заданном давлении,  
<sup>10</sup> ведется аналогичным образом.

# Сухой насыщенный пар

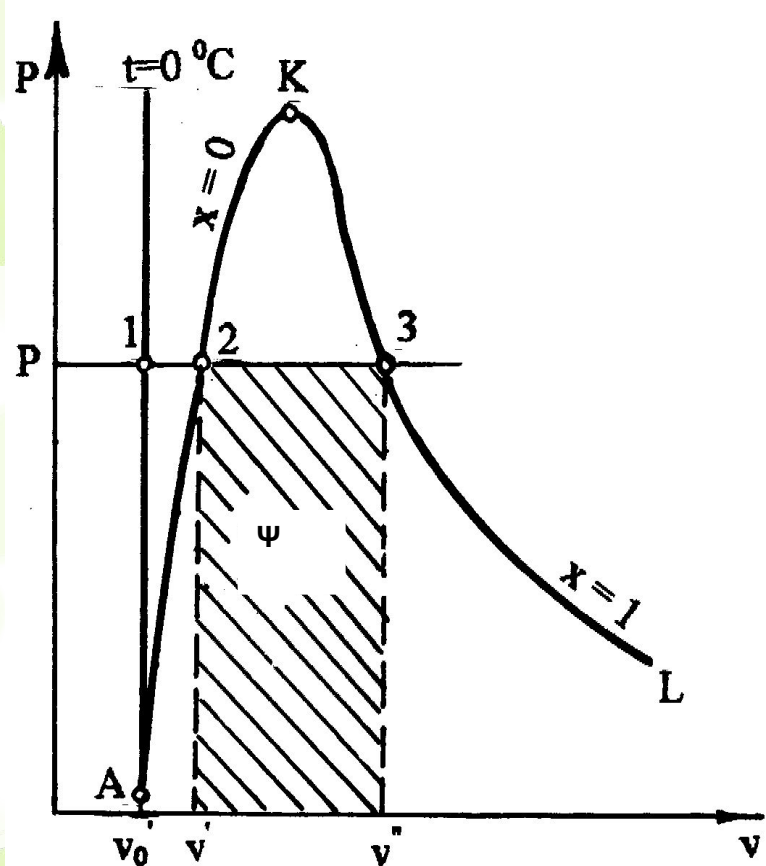


Рис. 6.12. Фазовый переход жидкости в пар в  $Pv$ -диаграмме для  $\text{H}_2\text{O}$

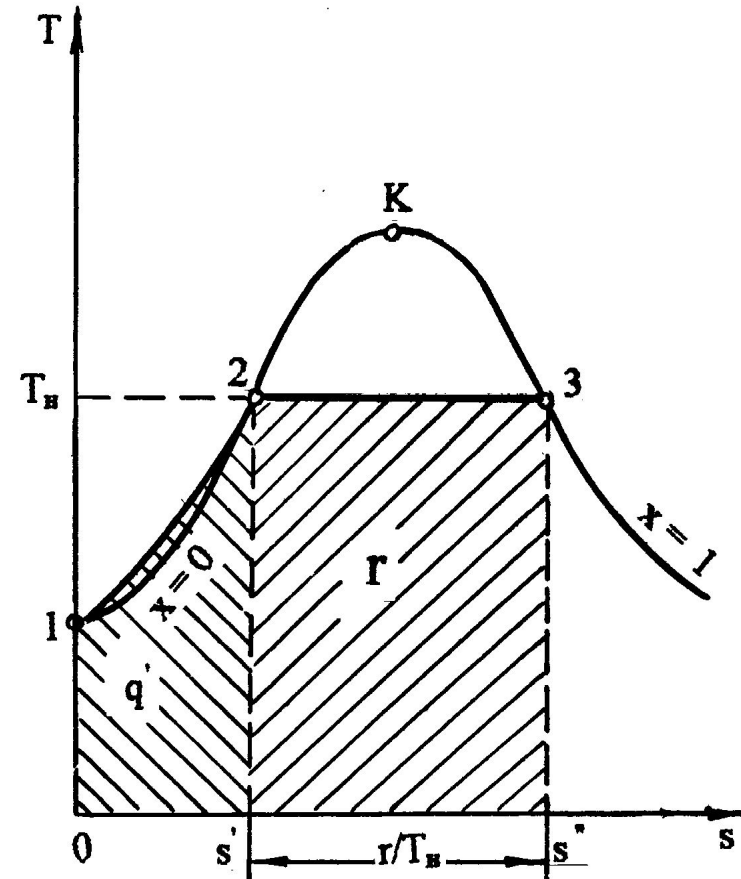


Рис. 6.24. Адиабатный процесс пара в  $Pv$ -диаграмме

# Сухой насыщенный пар

Все параметры сухого насыщенного пара отмечаются двумя штрихами ( $v''$ ,  $h''$ ,  $s''$  и т.д.).

$$r = u'' - u' + P(v'' - v') = h'' - h'. \quad (6.9)$$

В процессе парообразования  $T$  не изменяется, следовательно, разность внутренних энергий  $u'' - u'$  соответствует только работе дисгрегации (разъединения молекул), т.е. работе перевода Ж в П. Она называется *внутренней теплотой парообразования*  $\rho$ :  $\rho = u'' - u'$ .  $(6.10)$

Работа изменения объема при парообразовании - *внешняя теплота парообразования*  $\Psi$ :  $\Psi = P(v'' - v')$ .  $(6.11)$

В диаграмме  $P,v$  она представлена площадью под горизонталью 23 (рис.6.12). Используя введенные обозначения, уравнение (6.9) можно представить в виде  $r = \rho + \Psi$ .  $(6.12)$

При критическом давлении все члены равенства (6.12) равны нулю:  $r = \rho = \Psi = 0$ .

В изобарном процессе 123 (см. рис.6.13) затрачивается теплота для нагрева жидкости от  $t=0$  °C до состояния сухого насыщенного пара, называющаяся полной теплотой сухого насыщенного пара:

$$\lambda'' = q' + r = q' + \rho + \Psi = h'' - Pv_o'. \quad (6.13)$$

Эта теплота и все ее слагаемые зависят от давления или от температуры насыщения. Зависимость этих величин от температуры насыщения представлена на рис. 6.14.

Энтальпию сухого насыщенного пара можно определить как  $h'' = h' + r = q' + Pv_o' + r = \lambda'' + Pv_o'$ .  $(6.14)$

Из рис. 6.14 видно, что  $\lambda''$  имеет максимум. Поскольку  $Pv_o'$  несопоставимо мала по сравнению с  $\lambda''$ , то и  $h''$  имеет максимум. При этом важно отметить, что *максимум энталпии сухого насыщенного пара  $h''$  находится при температуре меньшей, чем у критической точки*.

Внутренняя энергия сухого насыщенного пара определяется из соотношения  $u'' = h'' - Pv''$ .  $(6.15)$

Изменение энтропии при изобарно-изотермическом процессе парообразования 23

$$s'' - s' = \frac{r}{T_H} \quad (6.16)$$

откуда получаем значение энтропии сухого насыщенного пара.

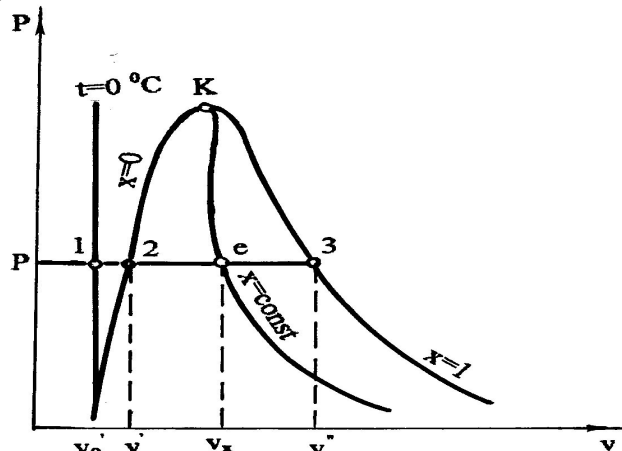
$$s'' = s' + \frac{r}{T_H}, \quad (6.17)$$

# Влажный насыщенный пар

располагается между пограничными кривыми  $x = 0$  и  $x = 1$ . (e) на изобаре  $P$  в области влажного насыщенного пара (6.15, 6.16). В области влажного насыщенного пара пары состояния не м.б. определены только по  $p$  и  $T$ , поскольку  $p$  однозначно определяет  $T$  насыщения и изобара влажного П одновременно является его изотермой, представляющей линию в  $P, v$ - и  $T, s$ -диаграммах. В качестве вспомогательного условного пар-па для влажного П применяется степень сухости  $x$ . Зная  $x$  и пары состояний насыщения  $B$  на линии  $x=0$  и  $P$  на линии  $x=1$ , можно рассчитать все остальные параметры состояния влажного П. Используя пары влажного насыщенного П, можно рассчитать его степень сухости:

$$x = \frac{v_x - v'}{v'' - v'} = \frac{h_x - h'}{\gamma} = \frac{s_x - s'}{s'' - s'} = \frac{u_x - u'}{u'' - u'} = \frac{1 - e}{1 - 2}$$

Теплота, необходимая для получения влажного П из  $B$  с  $t=0$  °C при изобарном ее нагревании, называется полной теплотой влажного П  $\lambda_x = q' + xr = h_x - Pv_o'$ .



13

Рис. 6.15. К определению параметров влажного насыщенного пара в  $P, v$  - диаграмме

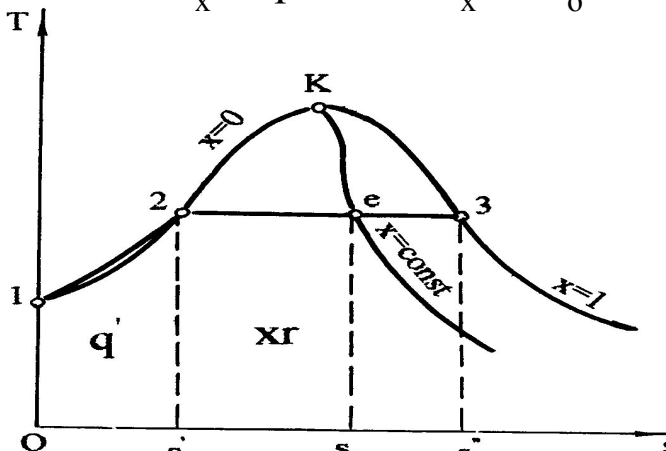


Рис. 6.16. К определению параметров влажного насыщенного пара в  $T, s$  - диаграмме

# Перегретый пар

Изобарный подвод теплоты к сухому насыщенному пару приводит к повышению его  $T$  по отношению к  $T$  насыщения при данном  $p$ . Параметры состояния перегретого пара обозначаются соответствующими буквами без индексов ( $t$ ,  $h$ ,  $s$ ,  $u$  и т.д.)

Теплота, необходимая для перевода 1 кг сухого насыщ. пара в перегретый пар с температурой  $t$  при изобарном ее нагревании, называется *теплотой перегрева*  $q_{\Pi}$

$$q_{\Pi} = \int_{t_H}^t c_p dt = h - h'' = u - u'' + P(v - v'')$$

где  $c_p$  — масс. изобарная тепло-ть  
14 перегретого пара

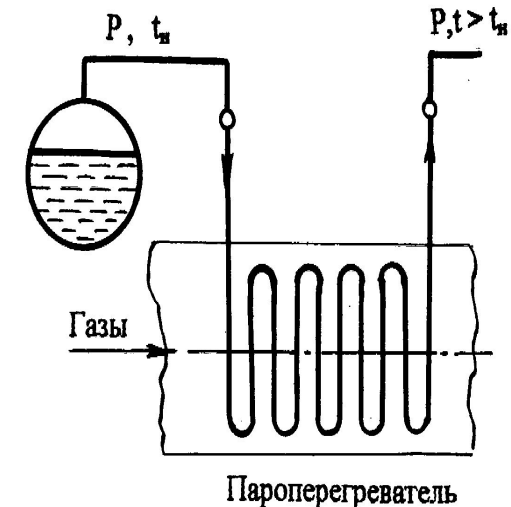


Рис. 6.17. Схема пароперегревателя

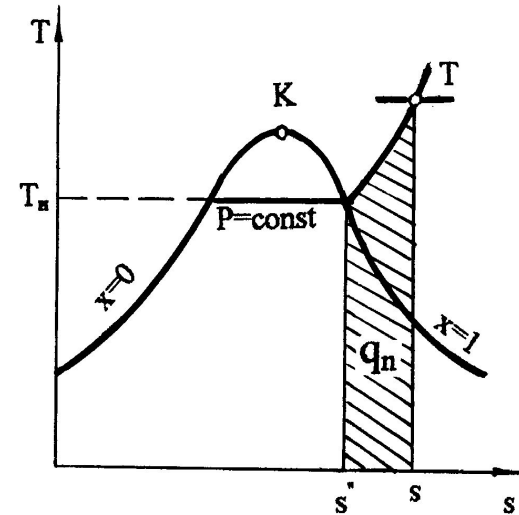


Рис. 6.18. К определению параметров перегретого пара

# Перегретый пар

Анализ представленных на графике опытных данных при  $P < P_{kp}$  приводит к выводу:

- 1) при постоянном  $P$  с повышением  $T$  от  $T$  насыщения изобарная теплоемкость сначала уменьшается, проходит через минимум, а затем медленно возрастает;
- 2) при одной и той же  $T$  с  $c_p$  тем больше, чем выше  $P$
- 3) с повышением  $T$  зависимость  $c_p$  от  $P$  уменьшается

Анализ изменения изобарной теплоемкости воды и пара при  $P > P_{kp}$  показывает:

- 1) при  $P_{kp}$  с повышением  $T$  жидкости ее изобарная теплоемкость растет и при критической  $T$  переходит в бесконечность, далее вблизи критической точки при  $t > t_{kp}$   $c_p$  пара резко понижается;
- 2) при сверхкритических давлениях повышение  $T$  сопровождается повышением  $c_p$  В до max, а затем понижением теплоемкости  $\Pi$ ;
- 3) с повышением  $P$  уменьшается степень изменения  $c_p$  от  $T$ , значение максимума снижается, а максимум теплоемкости смещается в область более высоких температур.

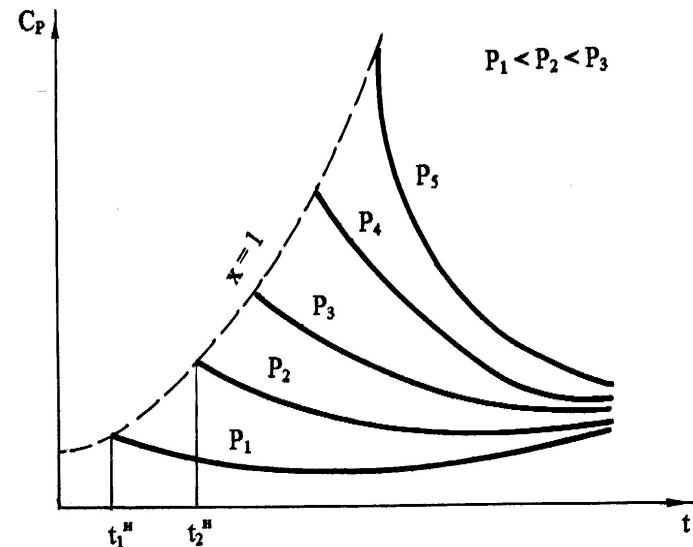


Рис. 6.19. Зависимость изобарной теплоемкости пара от температуры при докритических давлениях

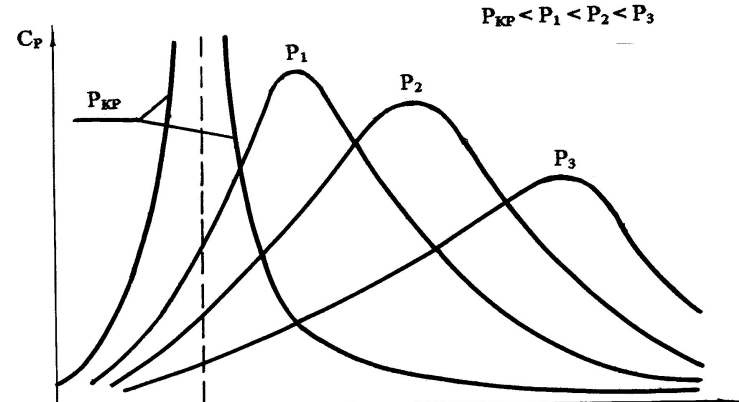


Рис. 6.20. Зависимость изобарной теплоемкости жидкости и пара от температуры при сверхкритических давлениях

# Таблицы т/д свойств

При ориентации в фазовых состояниях воды и пара с использованием таблиц необходимо помнить:

**1) при  $P = \text{const}$ :**

$t < t_{\text{h}}$  – жидккая фаза воды,  
 $t > t_{\text{h}}$  – перегретый пар,

$t = t_{\text{h}}$  – необходим 3-й параметр,  
например:

$h = h'$  – кипящая вода,  
 $h = h''$  – сухой насыщенный пар,  
 $h' < h < h''$  – влажный пар,  
 $h < h'$  – жидкая фаза воды,  
 $h > h''$  – перегретый пар,  
 $h' < h < h''$  – влажный пар.

} аналогично и при ориентации  
на  $v$  и  $s$ ;

**2) при  $t = \text{const}$ :**

$P < P_{\text{h}}$  – перегретый пар,  
 $P > P_{\text{h}}$  – жидкая фаза воды,  
 $P = P_{\text{h}}$  – аналогично  $t = t_{\text{h}}$  при  $P=\text{const}$  с ориентацией на  $h, v, s$ .

Некоторые выпуски таблиц включают в себя 2 части: 1-я в СИ, где  $P$  – в Па,  $h$  – в кДж/кг, и 2-я в СГС, где  $P$  – в кгс/см<sup>2</sup>, а  $h$  – в ккал/кг.

# Диаграмма T,s для воды и водяного пара

Для иллюстрации процессов изменения состояния воды и водяного пара и паровых циклов широко используется T,s-диаграмма. Она дает большой объем информации, позволяющий судить об особенностях энергетических эффектов и о тепловой экономичности циклов. В тепловой диаграмме T,s наносятся линии постоянных параметров воды и пара и функций состояния (6.21).

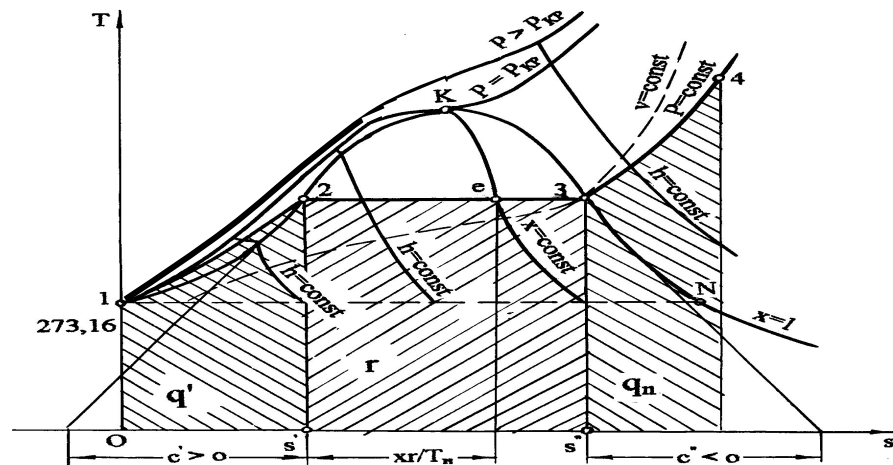


Рис. 6.21. Диаграмма T,s для жидкости и пара

Нулевое значение энтропии соответствует тройной точке жидкости (0,01 °C или 273,16 К и 611,2 Па). Построение линий постоянных параметров и функций состояния проводится по данным таблиц термодинамических свойств воды и водяного пара. Используя табличные значения зависимости между температурой насыщения  $T_h$  и энтропией кипящей жидкости  $s'$  и сухого насыщенного пара  $s''$ , можно построить нижнюю ( $x=0$ ) и верхнюю ( $x=1$ ) пограничные кривые. Эти пограничные кривые соединяются в критической точке K с координатами  $T_{kp}=647,27$  К (374,12 °C) и  $s_{kp} = 4,4237$  кДж/(кг·К). Линия  $x = 0$  начинается в тройной точке жидкости при  $T = 273,16$  К и  $s_1' = 0$ . Сухому насыщенному пару в тройной точке соответствует энтропия  $s_N''=9,1562$  кДж/(кг·К) (см. рис. 6.21, точка N). Ниже горизонтали 1N находится зона сублимации, здесь слева от линии  $x = 1$  — область твердой фазы и пара, а справа от линии  $x = 1$  — область перегретого пара. Выше линии  $x = 0$  находится область жидкой фазы, а выше линии  $x=1$  находится область перегретого пара.

# Диаграмма $h,s$ для воды и водяного пара

В инженерной практике широкое применение находит  $h,s$ -диаграмма для воды и водяного пара. Такое широкое использование  $h,s$ -диаграммы в теплоэнергетических расчетах обусловлено тем, что для основных процессов теплоэнергетических установок (изобарного,  $P=const$ , и адиабатного,  $s=const$ ) разности энталпий представляют их главные энергетические характеристики: количество теплоты или техническую работу, которые в  $h,s$ -диаграмме могут быть элементарно представлены отрезками вертикальных прямых линий. В  $T,s$ -диаграмме эти величины представляются сложными площадями.

Диаграмма  $h,s$  строится по данным таблиц термодинамических свойств воды и водяного пара. На рис. 6.22 приведен общий вид такой диаграммы для воды и водяного пара.

За начало отсчета энтропии в  $h,s$ -диаграмме, как и в  $T,s$ -диаграмме, приняты параметры тройной точки жидкой фазы воды. В этой точке  $s'_o=0$  и  $u'_o=0$ , а энталпия  $h'_o = 0,000614 \text{ кДж/кг}$  будет больше нуля, но численное ее значение очень мало. Следовательно, начало линии  $x=0$ , соответствующее тройной точке воды, расположено очень близко к началу координат. При повышении давления и температуры энталпия  $h'$  и энтропия  $s'$  жидкости на линии насыщения растут до критической точки и пограничная линия  $x=0$  представляется вогнутой кривой ОК.

Пограничная кривая сухого насыщенного пара  $x=1$  имеет вид кривой КН. Максимальное значение энталпии (ординаты) этой кривой  $h''_{\max} = 2801,9 \text{ кДж/кг}$  достигается при давлении около 30 бар и энтропии  $6,18 \text{ кДж/(кг·К)}$ .

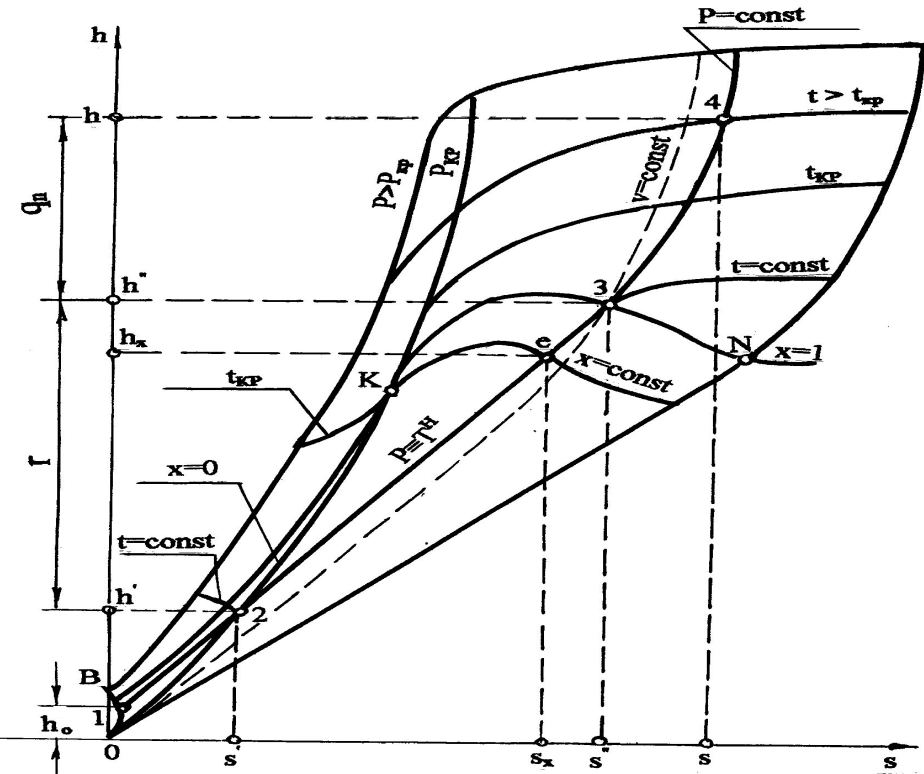


Рис. 6.22. Диаграмма  $h,s$  для жидкости и пара

# Основные процессы изменения состояния водяного пара

В практике теплоэнергетики наиболее часто встречаются: изохорный процесс (растопка котла при повышении давления), изобарный процесс (установившийся режим работы котла, процессы в подогревателях и конденсаторах пара), адиабатный процесс (в паровой турбине и насосе), изотермический процесс (испарение воды в реакторе кипящего типа). (далее см. текст лекций)

# ВЛАЖНЫЙ ВОЗДУХ

Влажный воздух – это смесь сухого воздуха и водяного пара. В воздухе при определенных условиях кроме водяного пара может находиться его жидккая (вода) или кристаллическая (лед, снег) фаза. В естественных условиях воздух всегда содержит водяной пар. Влажный воздух можно рассматривать как смесь сухого воздуха и водяного пара (жидкую и твердую фазы воды в воздухе пока считаем отсутствующими).

Используя законы для смесей газов, получим, что давление влажного воздуха равно сумме парциальных давлений сухого воздуха и водяного пара:  $P = P_{\text{в}} + P_{\text{п}}$

В качестве определяющих параметров водяного пара во влажном воздухе используются температура воздуха  $t$  и парциальное давление водяного пара  $P_{\text{п}}$ . Водяной пар во влажном воздухе может находиться в трех состояниях (рис.7.1): точка 1 – перегретый пар, точка 2 – сухой насыщенный пар, точка 3 – влажный насыщенный пар (сухой насыщенный пар плюс капельки жидкости в состоянии насыщения). Высшим пределом парциального давления водяных паров при данной температуре воздуха  $t$  является давление насыщения пара  $P_{\text{п max}} = P_{\text{н}}$ .

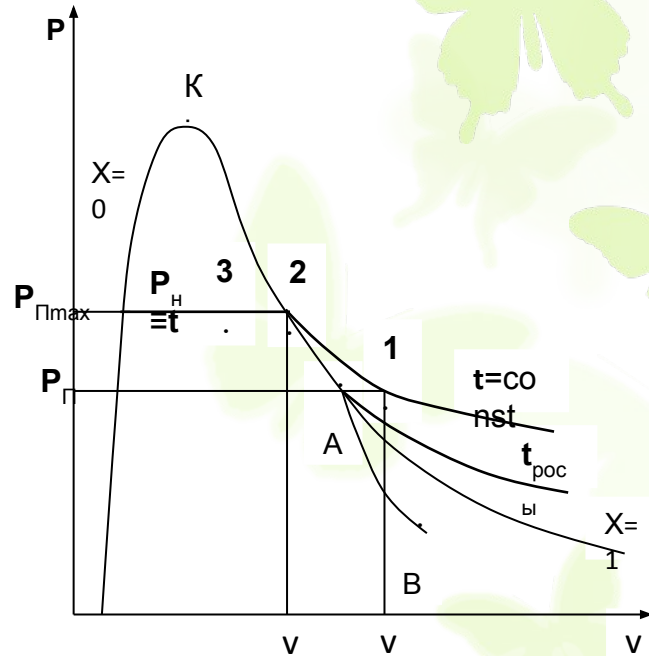


Рис.7.1. Основные состояния и характеристики водяного пара во влажном воздухе в P,v-диаграмме

# ВЛАЖНЫЙ ВОЗДУХ

**Абсолютная влажность  $\rho$**  – это массовое количество водяных паров в м<sup>3</sup> влажного воздуха. Для ее определения используется величина, обратная удельному объему водяного пара при  $P_{\text{пп}}$  и  $t$ ,  $\rho=1/v$  (кг/м<sup>3</sup>). **Абсолютная влажность воздуха** характеризует содержание в воздухе только паровой фазы воды.

**Относительная влажность  $\phi$**  – это отношение абсолютной влажности к максимально возможной влажности воздуха при данной температуре:

$$\phi = \frac{\rho}{\rho''} = \frac{v''}{v}$$

где  $\rho''$  и  $v''$  – максимальная абсолютная влажность воздуха и удельный объем сухого насыщенного водяного пара при данной  $T$  и  $t$ . Относительная влажность воздуха характеризует потенциальную возможность воздуха испарять влагу и забирать в себя пар из окружающей среды при данной  $T$ .

Различают 3 состояния влажного воздуха.

1. **Ненасыщенный влажный воздух** –  $\phi < 100 \%$ ,  $P_{\text{пп}} < P_{\text{н}}$ ,  $\rho < \rho''$ , водяной пар во влажном воздухе в виде перегретого пара (точка 1).

2. **Насыщенный влажный воздух** –  $\phi = 100 \%$ ,  $P_{\text{пп}} = P_{\text{н}}$ ,  $\rho = \rho''$ , водяной пар во влажном воздухе в виде сухого насыщенного пара (точка 2).

3. **Перенасыщенный влажный воздух** –  $\phi > 100 \%$ ,  $P_{\text{пп}} = P_{\text{н}}$ ,  $\rho = \rho''$ , кроме сухого насыщенного пара в воздухе находятся капельки воды в состоянии насыщения (льда, снега (т. 3 при наличии капелек воды)).

В технике используется такая характеристика влажного воздуха, как **температура точки росы**. Это такая температура, начиная с которой при охлаждении влажного воздуха при постоянном давлении из него начинается выпадение капелек воды (соответствует  $T(A)$  процесса 1A, рис. 7.1). При снижении  $T$  воздуха ниже  $T$  точки росы при постоянном давлении всей смеси и постоянном содержании в ней  $H_2O$  (процесс AB) парциальное давление водяного пара уменьшается ( $P_{\text{вп}} < P_{\text{пп}}$ ), количество сухого насыщенного пара уменьшается, а количество капелек воды увеличивается. В этом случае в Р, v-диаграмме процесс AB пойдет в области влажного пара с уменьшением степени сухости по мере снижения  $T$ .

# Характеристики атмосферного влажного воздуха

При Т-х атм воздуха 0-50 °С Р парц водяного пара очень мало (0,006-0,07 бар), что позволяет применить к перегретому и сухому насыщенному водяному пару уравнение идеального газа:  $P_n v = RT$ ,  $P_h v'' = RT$ ,

где  $P_n$ ,  $P_h$  и  $v$ ,  $v''$  – парциальные давления и удельные объемы для перегретого и сухого насыщенного водяного пара при температуре Т.

Разделив эти выражения друг на друга, получим расчетное выражение

относительной влажности воздуха через парциальные давления водяного пара:.

$$\Phi = \frac{v''}{v} = \frac{P_n}{P_h}$$

**Молярная масса атм влажного воздуха** определяется по уравнению для смеси газов:  $\mu = r_b \mu_b + r_n \mu_n$ ,

где  $r_b$ ,  $r_n$  – объемные доли сухого воздуха и водяного пара,  $r_b = P_b / P = (P - P_n) / P$ ;  $r_n = P_n / P$ ,

$P$ ,  $P_b$  и  $P_n$  – атм и парциальные давления сухого воздуха и водяного пара;  $\mu_b$ ,  $\mu_n$  – молярные массы сухого воздуха и водяного пара,  $\mu_b = 28,96$  кг/кмоль,  $\mu_n = 18,016$  кг/кмоль. В результате получаем расчетное выражение молярной массы влажного воздуха

**Газовая постоянная влажного воздуха**,  $R = \frac{8314}{\mu} = \frac{8314}{28,96 - 10,944 \frac{P_n}{P}}$        $\rho = \frac{P}{RT} = \frac{P(28,96 - 10,944 \frac{P_n}{P})}{8314 \cdot T}$   
она больше газовой постоянной сухого воздуха.

## Плотность влажного воздуха

**Влагосодержание d** – это масса водяного пара в гр., приходящаяся на 1 кг сух. воздуха.  $d_n = \frac{m_n}{m_b} 1000$

**Энтальпия влажного воздуха H** рассчитывается на 1 кг сухого воздуха (кДж/кг с.в.) и определяется как сумма энтальпий компонентов, находящихся в 1 кг сухого воздуха:

где  $d_n$ ,  $d_{ж}$ ,  $d_t$  – количество пара, жидкости и твердой фазы  $H_2O$  (лед, снег) в граммах на 1 кг сухого воздуха (влагосодержания);

$h_b$ ,  $h_n$ ,  $h_{ж}$ ,  $h_t$  – удельные энтальпии сухого воздуха, пара, жидкости и твердой фазы  $H_2O$ , кДж/кг.

Для определения энталпии твердой фазы воды (лед, снег) принимаются постоянными удельная теплота плавления льда и его изобарная теплоемкость. Эти величины берутся при параметрах тройной точки воды. Такие допущения возможны, поскольку в соответствии с Р,т-диаграммой для воды (рис.7.3) имеют место следующие факты:

в атмосферном воздухе твердая фаза воды (т.ф.) может присутствовать только при температурах и парциальных давлениях пара, меньших (или равных) температуры и давления тройной точки воды, т.к. только на линии сублимации АС возможно одновременное существование паровой и твердой фаз воды;

плавление льда в атмосферном воздухе возможно только при температуре 0 °C;

переход льда в паровую фазу при температурах меньше 0 °C происходит, минуя жидкую фазу воды, – по линии сублимации (AC);

парциальное давление водяного пара при отрицательных температурах атмосферного воздуха ненамного меньше (или равно) давления тройной точки воды  $P_o$ , следовательно, теплота изобарного охлаждения твердой фазы воды от 0 °C может быть рассчитана по изобаре  $P_o$ .

# ВЛАЖНЫЙ ВОЗДУХ

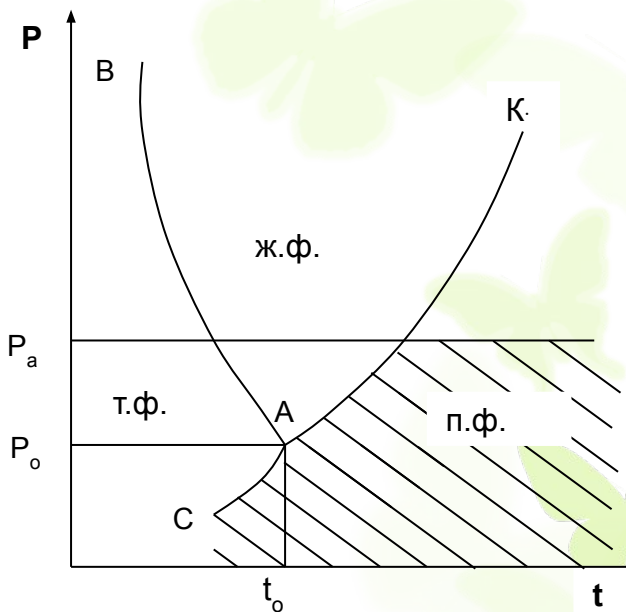
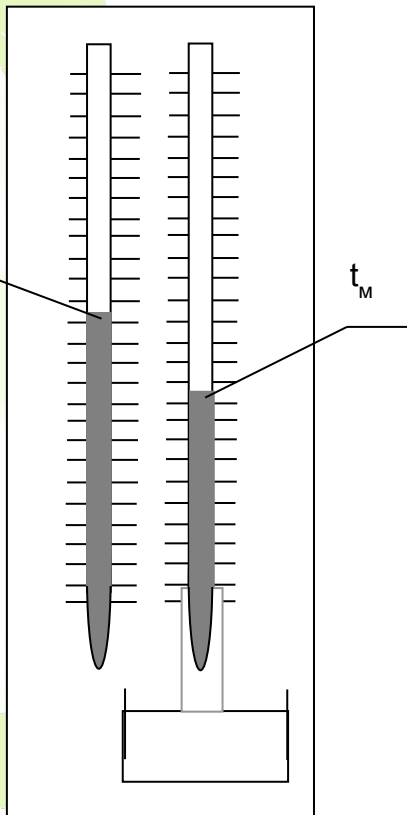


Рис.7.3. Область возможных фазовых состояний воды в атмосферном влажном воздухе в Р,т-диаграмме

# Психрометр

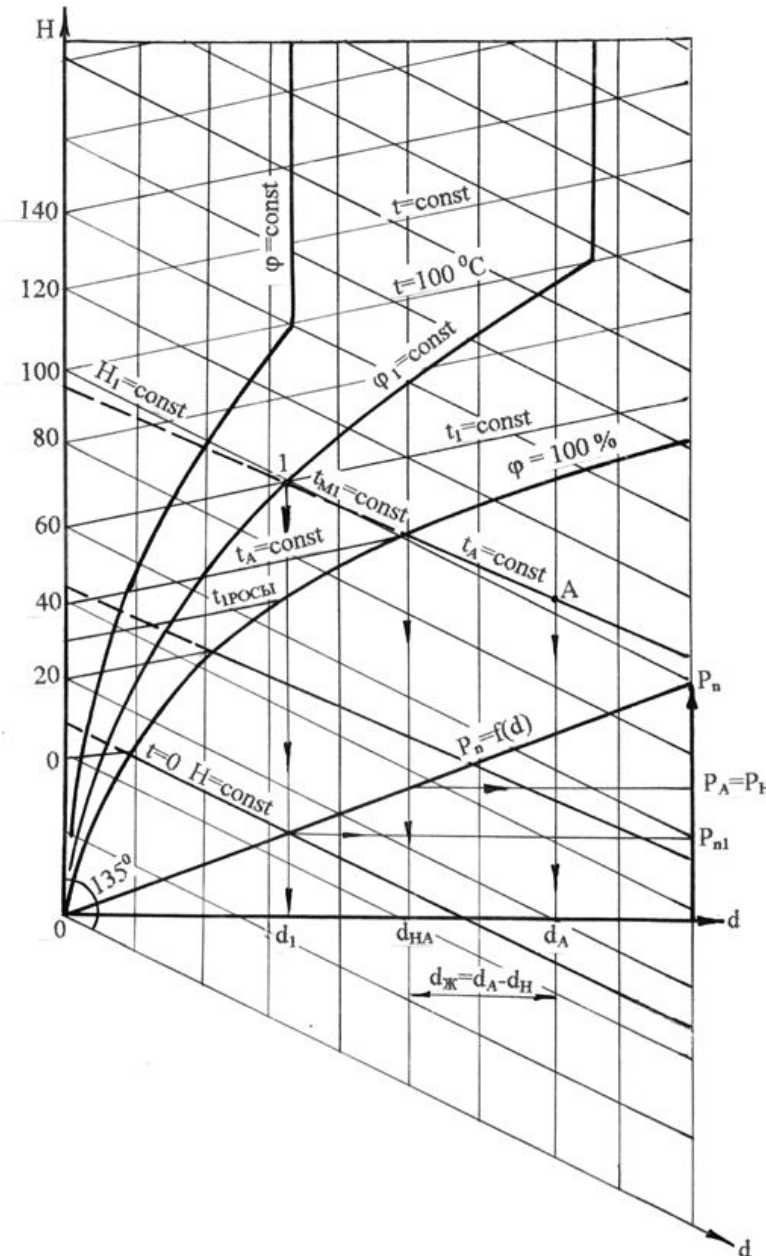
- прибор для определения влагосодержания атмосферного воздуха, состоит из двух термометров: сухого и мокрого. Мокрый термометр обернут тканью, смачиваемой водой.

Сухой термометр показывает температуру  $t$  атмосферного влажного воздуха. Мокрый термометр - температуру  $t_m$ , которая меньше температуры сухого термометра. Понижение температуры  $t_m$  по отношению к температуре  $t$  вызвано испарением воды из ткани. Однако  $t_m$  будет больше температуры т. росы вследствие наличия теплообмена влажной ткани с окружающей средой, имеющей температуру  $t > t_m$ . При насыщенном влажном воздухе вода не может испаряться из ткани и  $t = t_m$ . При ненасыщенном влажном воздухе  $t > t_m$ . Чем суше воздух, тем больше разность температур  $t - t_m$  и тем меньше его влагосодержание. Зависимость влагосодержания  $d_n$  для атмосферного воздуха от  $t$  и  $t_m$  устанавливается экспериментально. Результаты этих испытаний сводятся в психрометрические таблицы, которыми пользуются для определения влагосодержания воздуха по показаниям температур психрометра.



# H,d-диаграмма атмосферного влажного воздуха

Ось координат влагосодержаний  $d$  имеет нулевое начало. Вертикальные линии в H,d-диаграмме представляют линии постоянных влагосодержаний  $d=\text{const}$ . Линии постоянных энталпий  $H=\text{const}$  параллельны оси  $d$  и идут под углом  $135^\circ$  к оси  $H$ .



# H,d-диаграмма атмосферного влажного воздуха

## Область ненасыщенного влажного воздуха

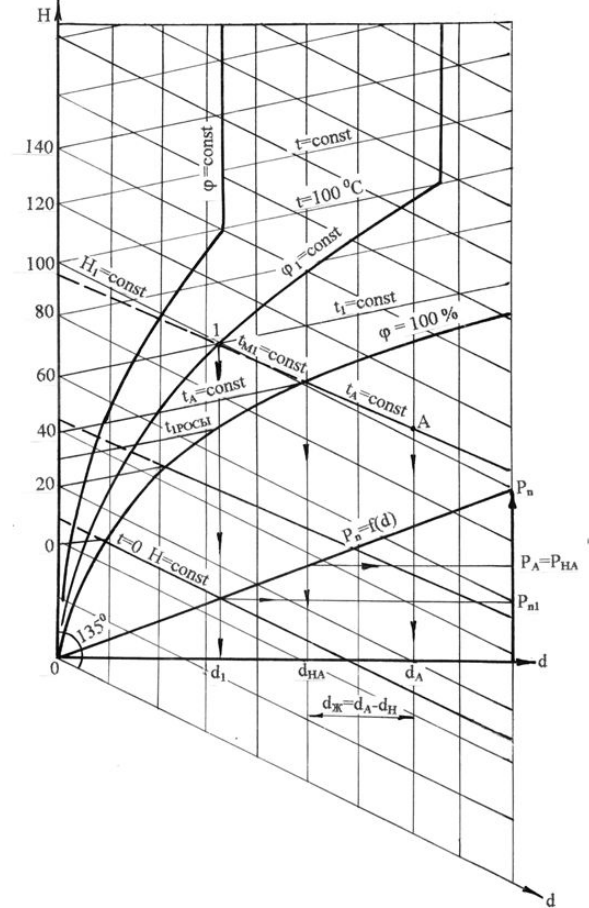
Для ненасыщенного влажного воздуха в H,d-диаграмме (область выше линии  $\phi=100\%$ ) изображение изотерм  $t=\text{const}$  ведется в соответствии с уравнением энталпии для этой области, когда в воздухе может присутствовать только паровая фаза воды: Изотермы в этой области представляют собой близкие к параллельным прямые линии с угловым коэффициентом, соответствующим величине  $(\partial H/\partial d)_t = (2501 + 1,93t)/1000$ . Незначительное расхождение изотерм вызвано произведением 1,93t.

Изотерма 0 °C в этой области, представляет собой горизонтальную прямую. Это достигается выбором масштаба по осям H и d в соответствии со значением углового коэффициента изотермы 0 °C  $(\partial H/\partial d)_{t=0} = 2501/1000$  при ее горизонтальном изображении.

При  $d=0$  получается равенство  $H=t$ , т.е. численные значения энталпий и температур на оси H одинаковы. Поэтому ось энталпий одновременно выполняет и роль оси T.

Каждой точке изотермы соответствует определенное значение относительной влажности воздуха  $\phi$ . Это объясняется тем, что при  $P=\text{const}$  и при  $t=\text{const}$  парциальное давление насыщения водяного пара постоянно:  $P_h=f(t)=\text{const}$ . Следовательно, на изотерме H,d-диаграммы влагосодержание пара однозначно определяет относительную влажность

Соединив на изотермах точки с одинаковыми  $\phi$ , получают линии постоянных относительных влажностей воздуха ( $\phi=\text{const}$ ). При этом  $\phi=0$  соответствует  $d=0$ , т.е. линия  $\phi=0$  совпадает с осью энталпий H.



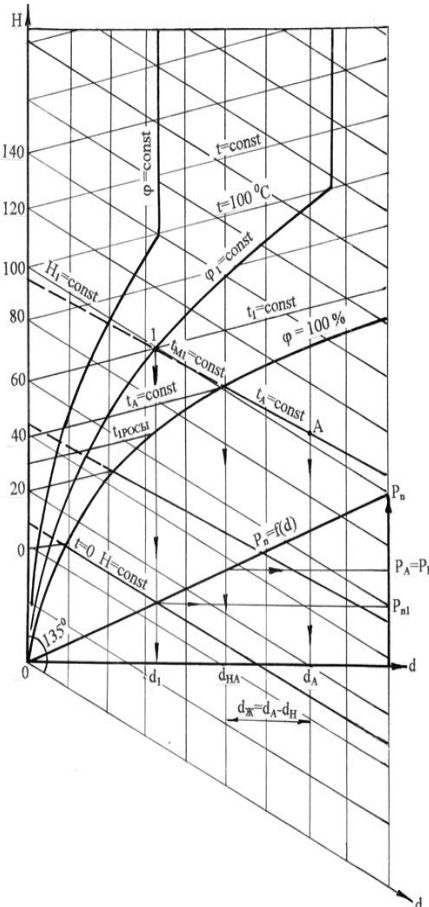
Таким образом, ось энталпий H в H,d-диаграмме выполняет три функции: является осью энталпий, осью температур, линией постоянной относительной влажности воздуха  $\phi=0$ .

## Область перенасыщенного влажного воздуха

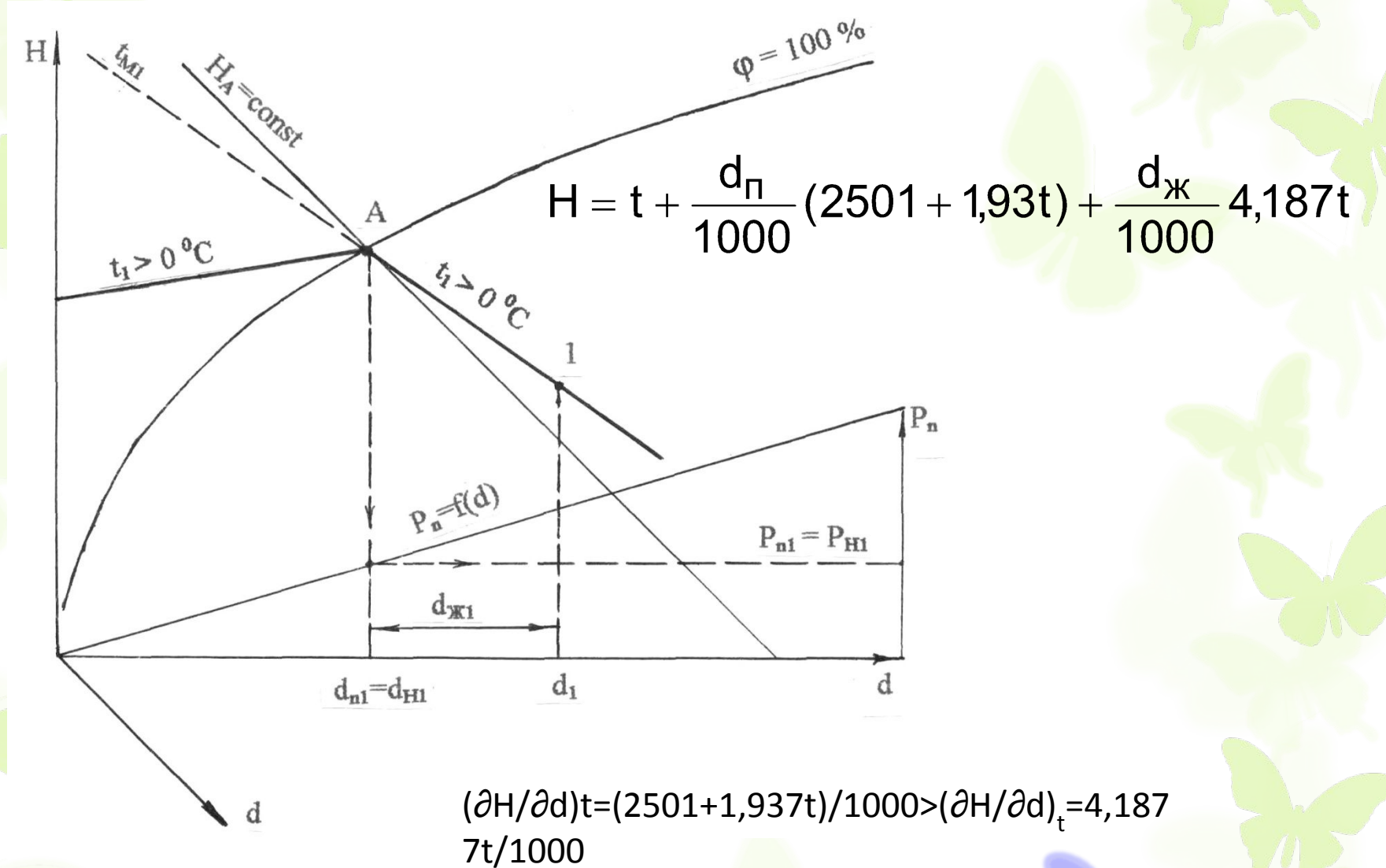
# H,d-диаграмма атмосферн. Влажного воздуха

В области перенасыщенного влажного воздуха (тумана, ниже линии  $\phi=100\%$ ) кроме ПФ в воздухе может присутствовать Ж или ТФ воды. При атм давлении воздуха и T выше 0°C могут одновременно существовать только П и ЖФ воды, а при T-х ниже 0 °C – только П и ТВ (лед,снег) фазы воды, и только при 0°C могут одновременно существовать все три фазы воды. ЖФ воды при «-» T-х может существовать только при р-х выше давления тройной точки воды  $P_o$ , а макс парц давление водяного пара в атм воздухе при этих T-х не может быть больше этого P. Области возможного фазового существования воды в атм воздухе - в фазовой диаграмме P,t для воды. Заштрихованная площадь соответствует состоянию воды в атм воздухе. Сверху область ограничена макс парциальным Р насыщения водяного пара, соответствующим 100°C. Большего парциального давления водяного пара в атмосферном воздухе быть не может, т.к. парц. р водяного пара при температуре воздуха 100°C равно полному давлению воздуха ( $P_{Hmax} = P$ ). Слева ограничение этой области идет по линиям фазовых переходов: по линии насыщения АК – где может находиться одновременно Ж и ПФ воды, и по линии сублимации АС – где возможно одновременное существование тв и ПФ воды.

Количество водяного П в области тумана влажного воздуха при постоянной T не меняется. Оно соответствует макс возможному влагосодержанию пара в воздухе при данной T и определяется в H,d- диаграмме на линии  $\phi=100\%$ , как влагосодержание насыщенного воздуха  $d_{n1}=d_{h1}$  (A). Увеличение влагосодержания воздуха на изотерме в области тумана обусловлено увеличением ЖФ воды в воздухе. Парц давление водяных паров на изотерме в области тумана при этом остается постоянным и равным давлению насыщения ( $P_{n1}=P_{h1}$ ). В выражении энталпии перенасыщенного влажного воздуха при  $t=const$  переменной будет только третье слагаемое, определяющее угол наклона изотермы<sup>27</sup> в области тумана H,d- диаграммы выражением  $(\partial H/\partial d)_t=4,1877t/1000$ . Угловой коэффиц. для изотермы ненасыщенного влажного воздуха  $(\partial H/\partial d)_t=(2501+1,937t)/1000>(\partial H/\partial d)_t=4,1877t/1000$



# Область перенасыщенного влажного воздуха



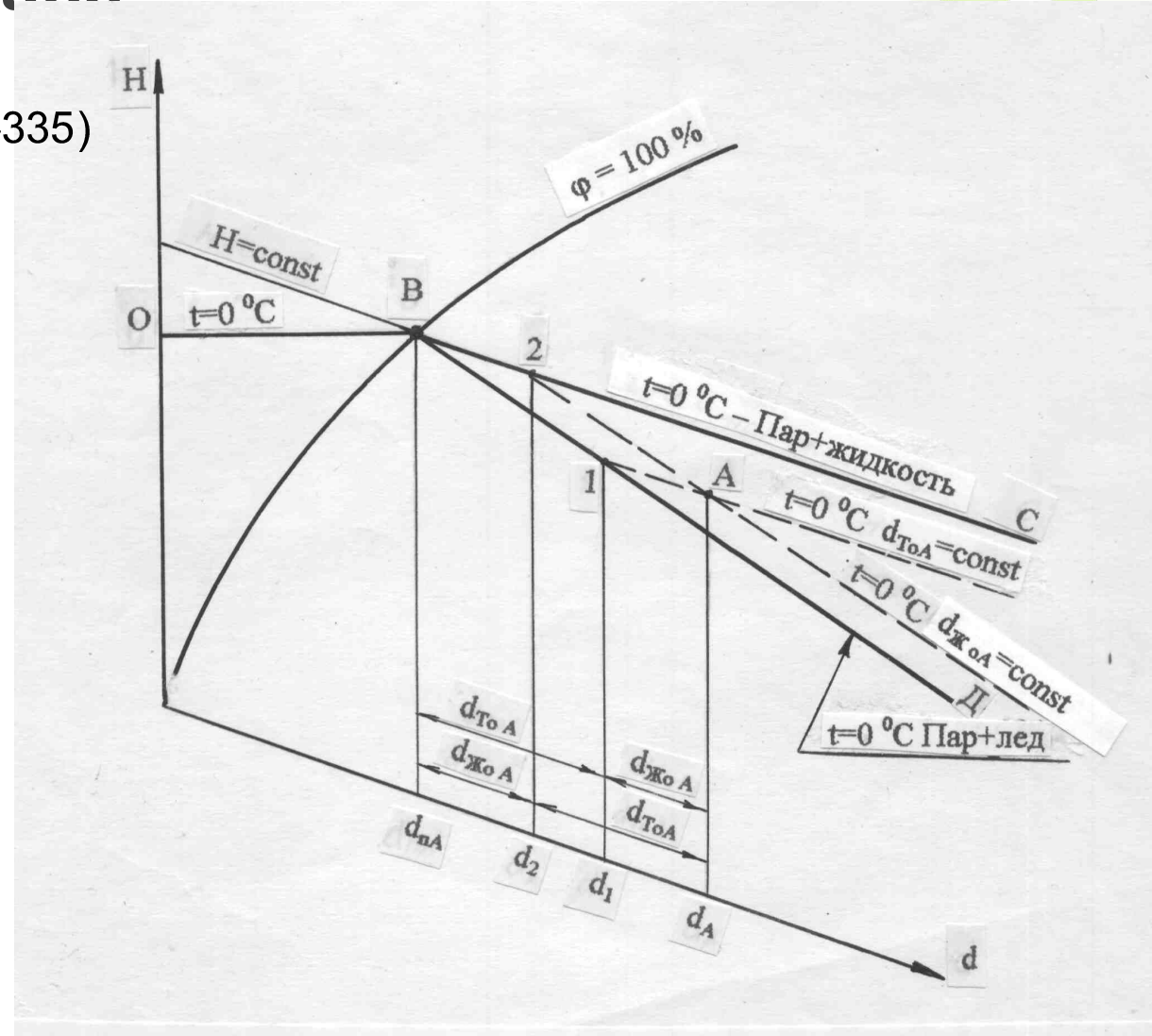
28

Рис. 7.7. К определению параметров перенасыщенного влажного воздуха по  $H,d$  - диаграмме при  $t > 0^\circ\text{C}$

# Изображение в H,d-диаграмме изотермы 0 °C в области тумана

$$H_{t=0} = \frac{d_{n0}}{1000} 2501 + \frac{d_{T0}}{1000} (-335)$$

Рис. 7.8. К определению параметров перенасыщенного влажного воздуха по H,d - диаграмме при  $t=0^{\circ}\text{C}$



# особенности характеристик влажного воздуха при отрицательных температурах

Для температур меньше 0 °С в атмосферном влажном воздухе могут присутствовать только паровая и твердая фазы воды. В случае ненасыщенного влажного воздуха имеет место только паровая фаза воды, для которой уравнение энталпии соответствует выражению

$$H = t + \frac{d_{\pi}}{1000} (2501 + 1,93t)$$

точке 1 соответствует ненасыщенный влажный воздух с относительной влажностью  $\phi = P_{\pi}/P_c = v''/v = \rho/\rho' < 1$ , где  $P_c$  – давление сублимации, соответствующее изотерме  $t < 0$  °С, а  $v''$  – удельный объем сухого "насыщенного" пара при  $P_c$ , в этом случае  $P_{\pi} < P_c$ , а водяной пар перегретый;

точке 2 соответствует насыщенный влажный воздух с относительной влажностью  $\phi = 100\%$  и  $P_{\pi} = P_c$ ,  $\rho = \rho''$ ,  $v = v''$ , а водяной пар во влажном воздухе будет в виде сухого "насыщенного";

точке 3 соответствует перенасыщенный влажный воздух с относительной влажностью  $\phi = 100\%$ ,  $P_{\pi} = P_c$ , водяной пар во влажном воздухе кроме сухого "насыщенного" пара содержит твердую фазу воды (лед, снег) <sup>30</sup>

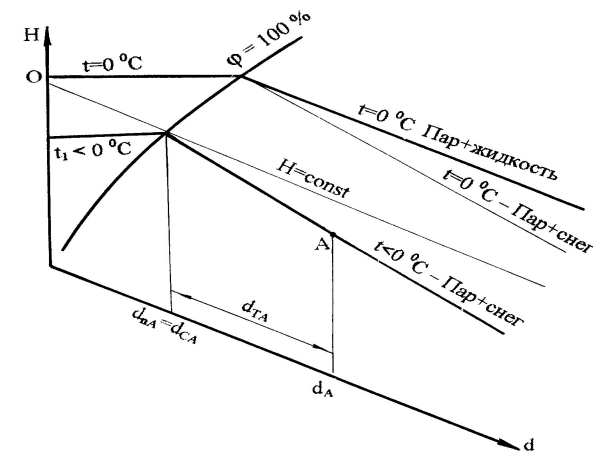


Рис. 7.9. К определению параметров перенасыщенного влажного воздуха по  $H$ ,  $d$  - диаграмме при  $t < 0$  °С

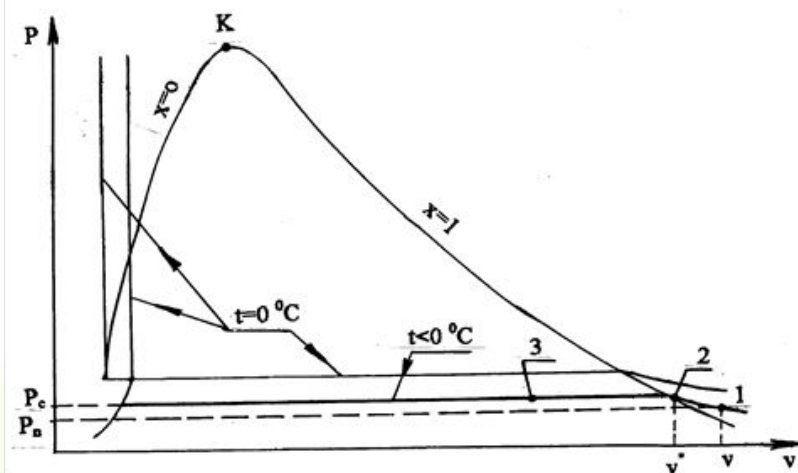
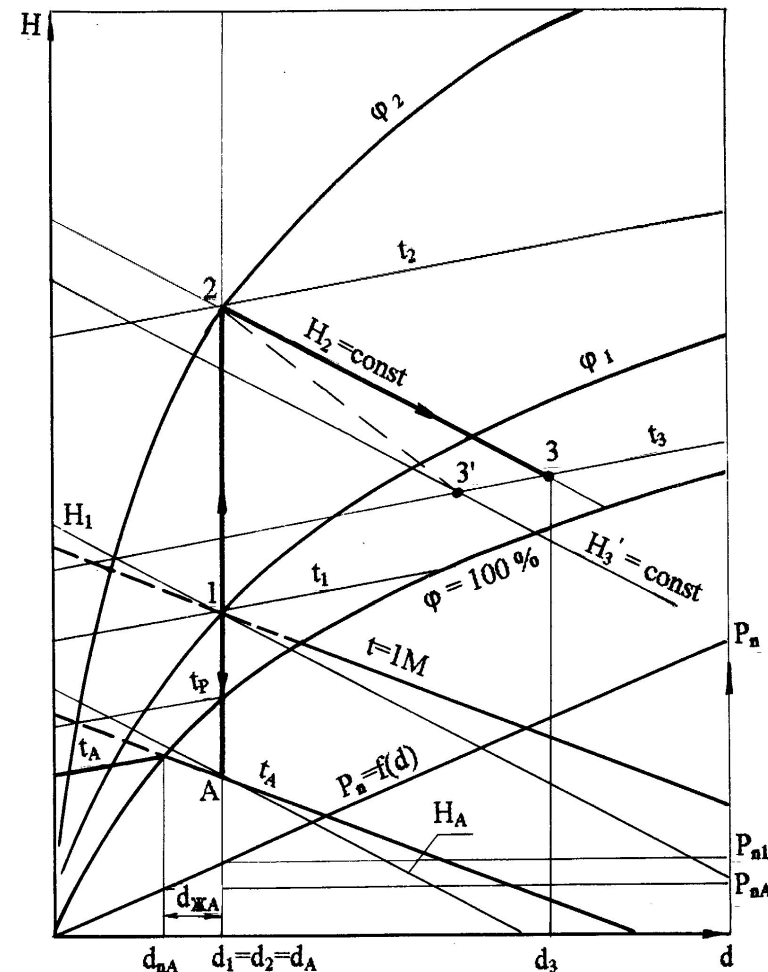


Рис. 7.10. Состояния  $\text{H}_2\text{O}$  в атмосферном влажном воздухе при  $t > 0$  °С и  $P_{\pi}$  в диаграмме

# Пример пользования H,d- диаграммой

При известных температурах сухого  $t_1$  и мокрого  $t_{m1}$  термометров, взятых с показаний психрометра, определяем на их пересечении в H,d- диаграмме точку 1, соответствующую состоянию влажного воздуха (см. рис.7.6). По осям координат находим  $H_1$  и  $d_1$  и проходящую через точку 1 линию  $\phi_1 = \text{const}$ . На пересечении линий  $d_1 = \text{const}$  и  $\phi_1 = 100\%$  определяется температура точки росы  $t_{1\text{росы}}$ , а по зависимости  $P_p = f(d)$  и  $d_1$  находится парциальное давление пара  $P_{p1}$ .

Если точка A (см. рис.7.6) располагается в области перенасыщенного влажного воздуха и мы знаем ее температуру, то определить влагосодержание  $d_A$  в ней можно только экспериментально. Влагосодержание пара в этой точке соответствует величине  $d_{hA}$ , находящейся на пересечении линий  $t_A$  и  $\phi=100\%$ . Влагосодержание жидкой фазы воды в этой точке определяется как разность влагосодержаний:  $d_{xhA} = d_A - d_{hA}$ . Парциальное давление пара для точки A равно давлению насыщения:  $P_A = P_{hA}$  при  $t_A$  и  $\phi=100\%$ .



# **Изображение процессов влажного воздуха в H,d- диаграмме**

Процесс нагрева 12 - вертикальная прямая, идущая вверх. Отн. влажность воздуха в этом процессе  $\downarrow$  ( $\phi_2 < \phi_1$ ). Снижение относительной влажности увеличивает потенциальные возможности воздуха по забору влаги из окружающей среды, т.е. осуществлять сушку материалов более эффективно горячим воздухом. Процесс охлаждения 1A представляет вертикальную прямую, но идет вниз. Отн. влажность воздуха в этом процессе возрастает. В случае охлаждения воздуха ниже точки росы ( $t_A < t_{1\text{росы}}$ ) можно определить по H,d- диаграмме количество влаги, выпавшей в виде капелек жидкости из воздуха  $d_{жA}$ . Для этого определяется количество пара в перенасыщенном воздухе  $d_{на}$  по  $t_A$  и  $\phi=100\%$  и по разности влагосодержаний  $d_1 - d_{на} = d_{жA}$  находится влагосодержание жидкой фазы воды в воздухе. В конце такого процесса степень сухости водяного пара со  $\downarrow T$  будет уменьшаться. **процесс сушки** В этом пр-се воздух используется в качестве сушильного агента. Поскольку воздух контактирует с материалами, содержащими воду, его влагосодержание может увеличиваться. **увеличение влагосодержания воздуха происходит только за счет испарения воды** (процесс 23). Отн. влажность воздуха в начале процесса должна быть меньше 100 %. Теплота, идущая на испарение воды, берется из воздуха и передается испаряемой воде, поступающей в воздух. В результате испарения воды воздух охлаждается, Т его уменьшается, а испаренная вода в виде пара уносится потоком воздуха, увеличивая его влагосодержание на величину  $d_{исп} = d_3 - d_2$ . За счет увеличения влагосодержания ( $d_3 > d_2$ ) возрастает и парциальное давление водяного пара ( $P_{n3} > P_{n2}$ ) в этом процессе. **энталпия влажного воздуха при этом остается неизменной ( $H_2 = H_3$ )**, поскольку внешнего подвода (отвода) теплоты не было, а просто произошло перераспределение Е между воздухом и добавившимися к нему водяными П. В случае если **процесс сушки осуществляется воздухом, имеющим 100 % - ную относительную влажность**, его влагосодержание может увеличиваться только за счет механического уноса потоком воздуха капелек воды. Этот процесс в H,d- диаграмме будет идти в области тумана по изотерме (рис.7.12, пр-с 12), поскольку *при отсутствии испарения воды Т воздуха изменяться не будет*. Энталпия воздуха в конце такого процесса будет больше, чем энталпия воздуха в начале процесса ( $H_2 > H_1$ ). Поскольку унос капель воды в нашем процессе приводит к увеличению  $d_{ж}$  от нуля до  $d_{ж2}$ , то, *несмотря на постоянство температуры воздуха в процессе 12, его энталпия будет возрастать*. **Процесс поглощения влаги из воздуха** объектом, имеющим одинаковую с ним Т, при отсутствии т/o с окружающей средой будет идти при постоянной Т в сторону уменьшения влагосодержания воздуха (процесс АВ, рис.7.12). Относительная влажность, энталпия и парциальное давление водяного пара будут уменьшаться, если весь процесс идет в области ненасыщенного влажного воздуха.